

4ème Journée Scientifique du CRIOGO

Modélisation animale des infections ostéo-articulaires



Cédric Jacqueline

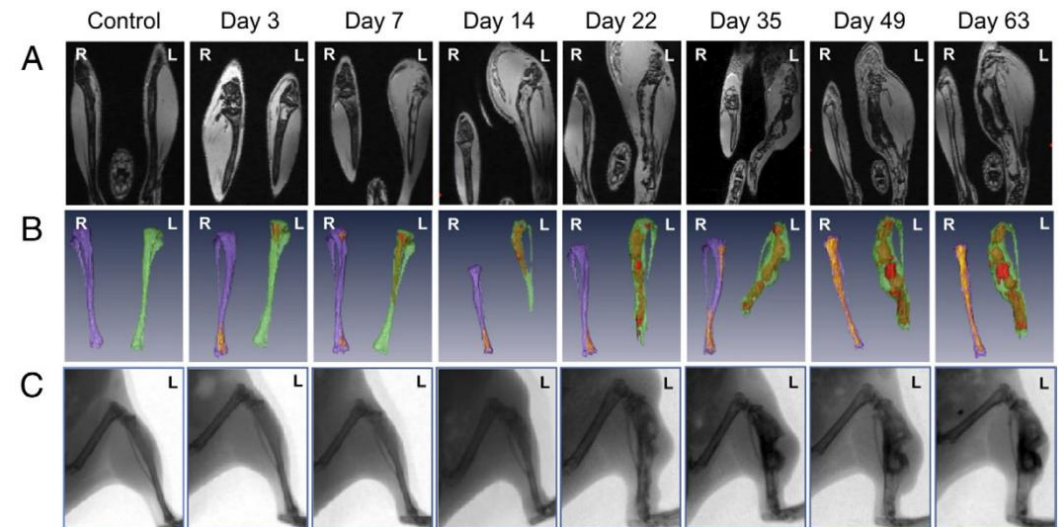
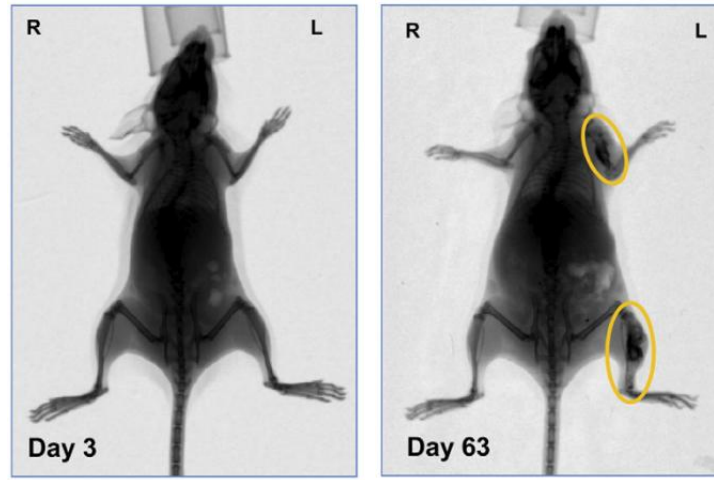
UPRES EA 3826

Thérapeutiques Cliniques et Expérimentales des Infections

Université de Nantes

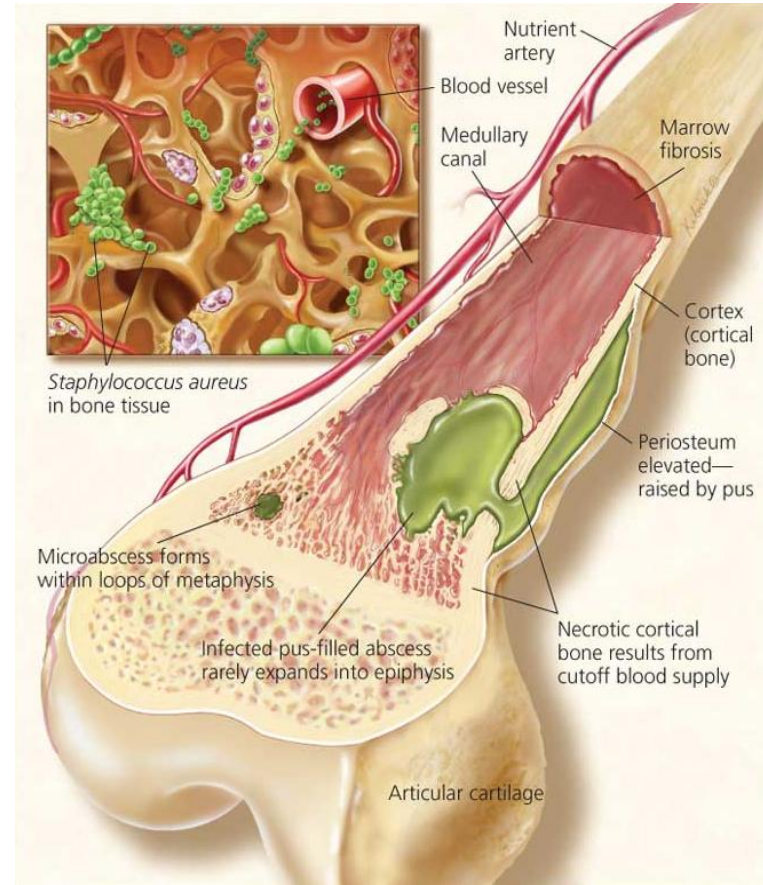
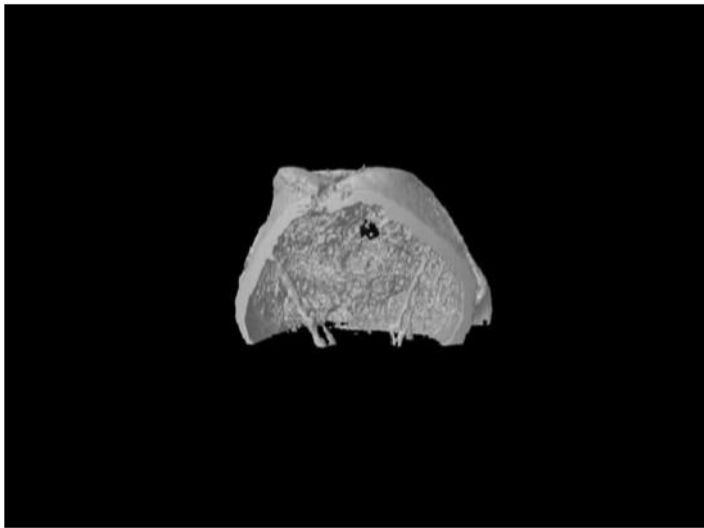
INTRODUCTION

- Faible nombre d'essais cliniques dans le domaine des infections ostéo-articulaires
- Différents modèles animaux expérimentaux existent dans le domaine des IOA :
 - Souris, rat, lapin
 - Aigüe / sub-aigüe / chronique
 - Avec / sans matériel



Modèle expérimental d'IOA

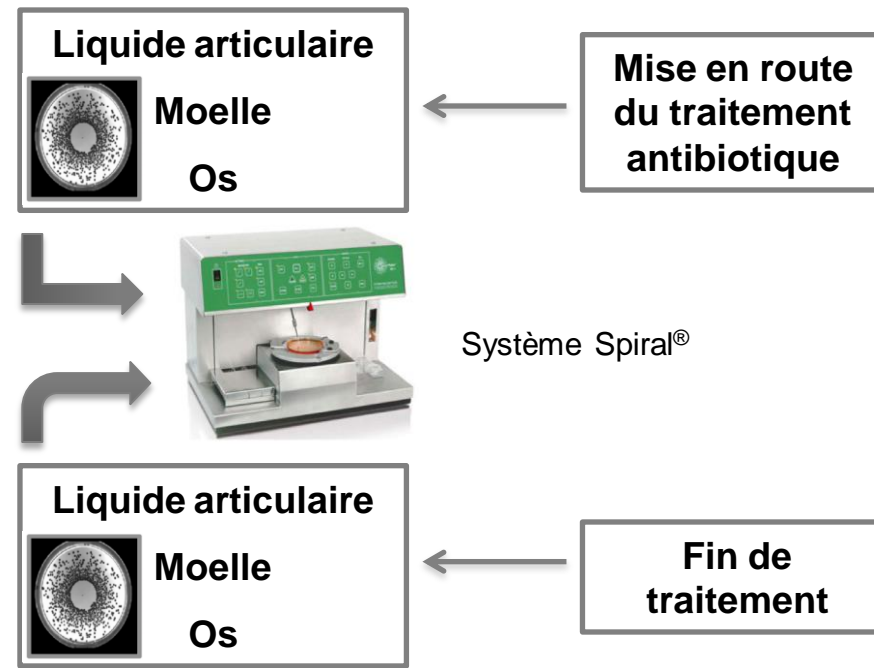
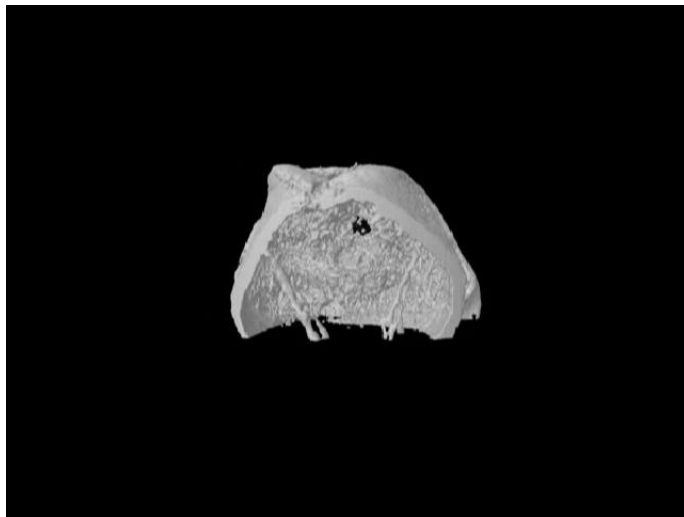
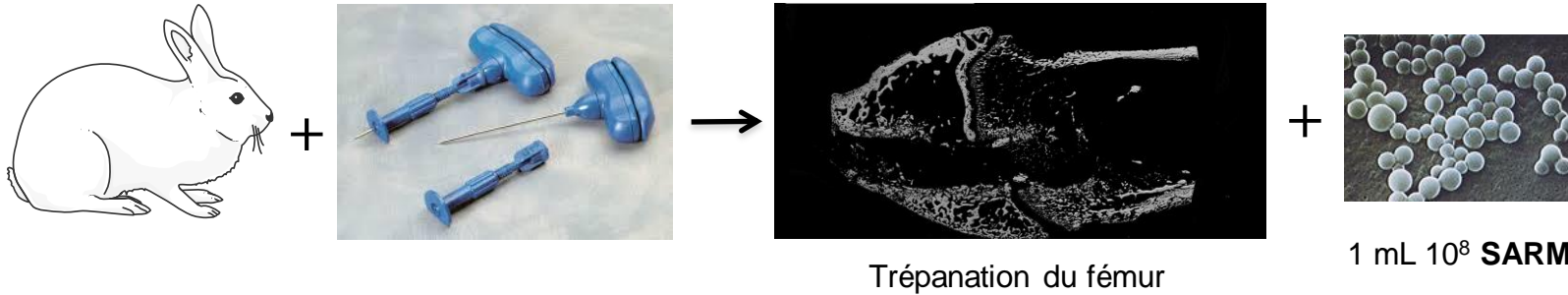
Modèle expérimental d'ostéomyélite aigüe à SARM



Gaudin A, Amador Del Valle G, Hamel A, Le Mabecque V, Miègreville AF, Potel G, Caillon J, Jacqueline C. A new experimental model of acute osteomyelitis due to methicillin-resistant *Staphylococcus aureus* in rabbit. Lett Appl Microbiol 2011;52:253-7.

Modèle expérimental d'IOA

L'efficacité est mesurée en comparant la charge bactérienne avant (J3 après inoculation) et après le traitement (J7 après inoculation).



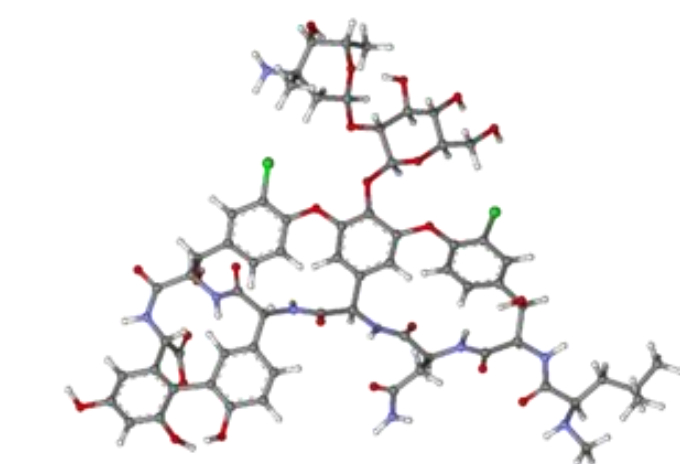
J0
Infection

J3

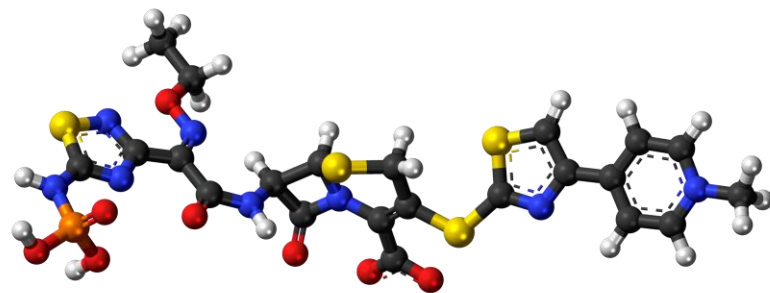
J7

Modèle d'IOA: Evaluation thérapeutique

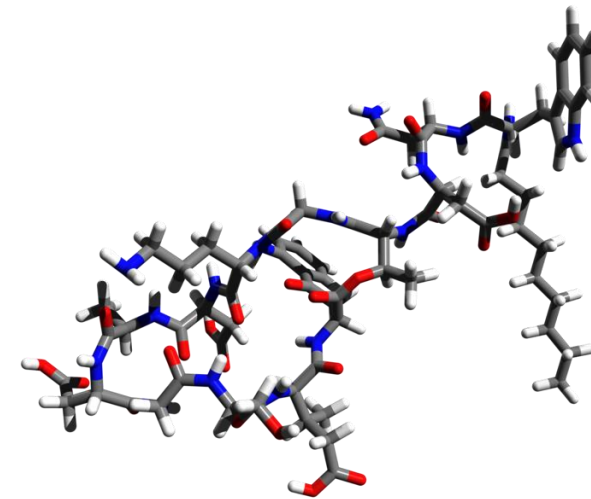
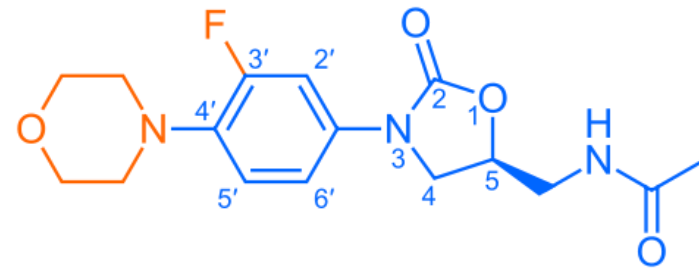
Evaluation de molécules antistaphylococciques



Vancomycine



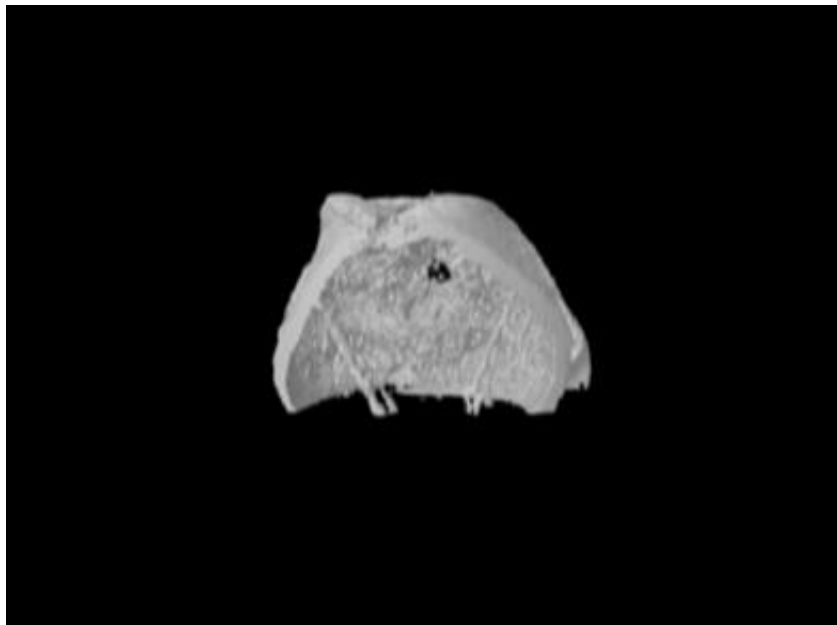
Ceftaroline



Daptomycine

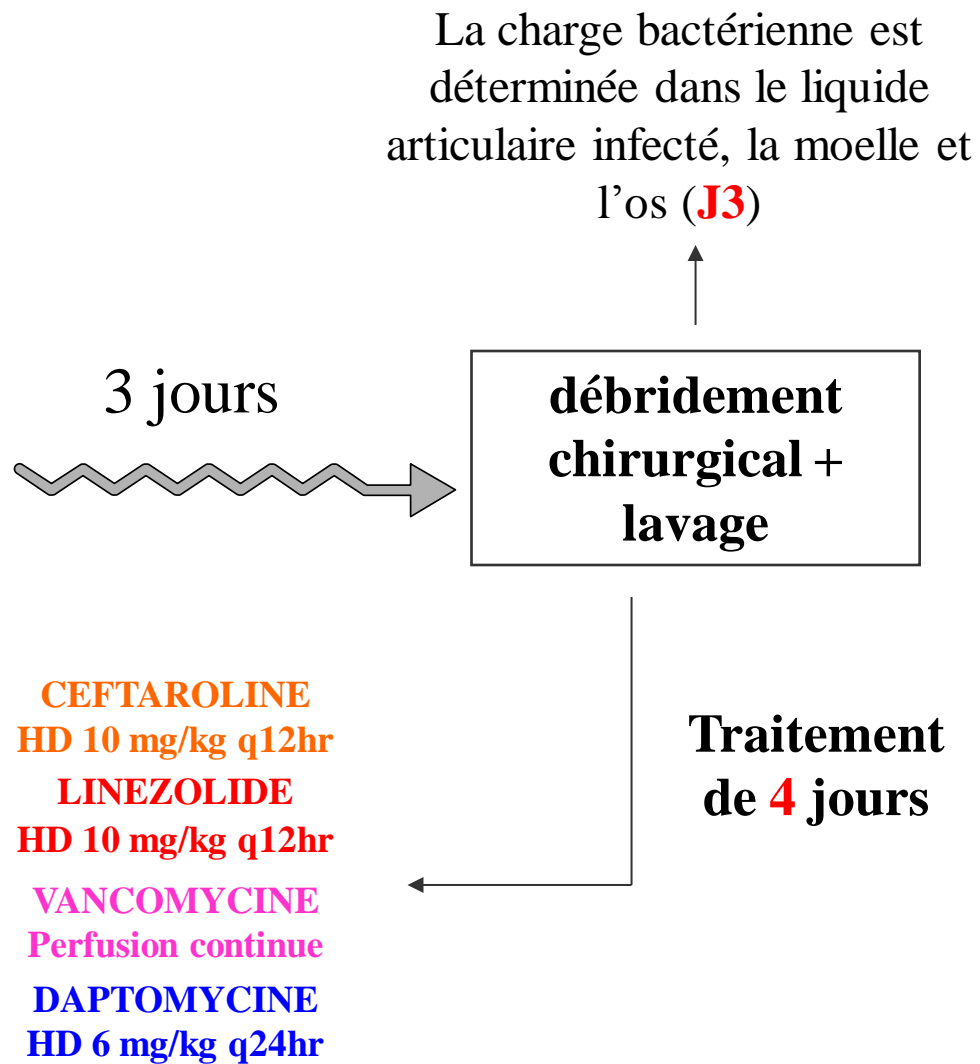
Modèle d'IOA: Evaluation thérapeutique

Trépanation fémorale et inoculation intra-articulaire de 10^9 UFC



Reconstruction 3D du condyle fémoral

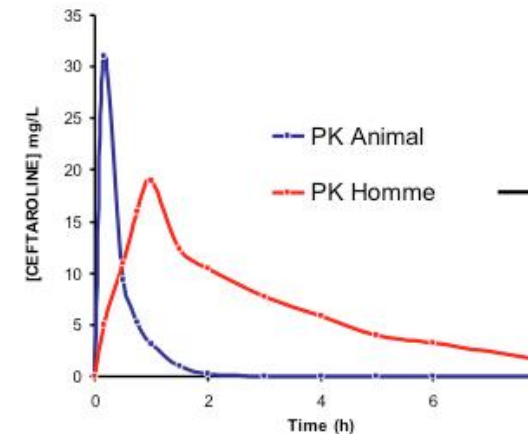
Les bactéries survivantes sont dénombrées dans le liquide articulaire infecté, la moelle et l'os (**J7**)



Modèle d'IOA: Evaluation thérapeutique



PK spontanée



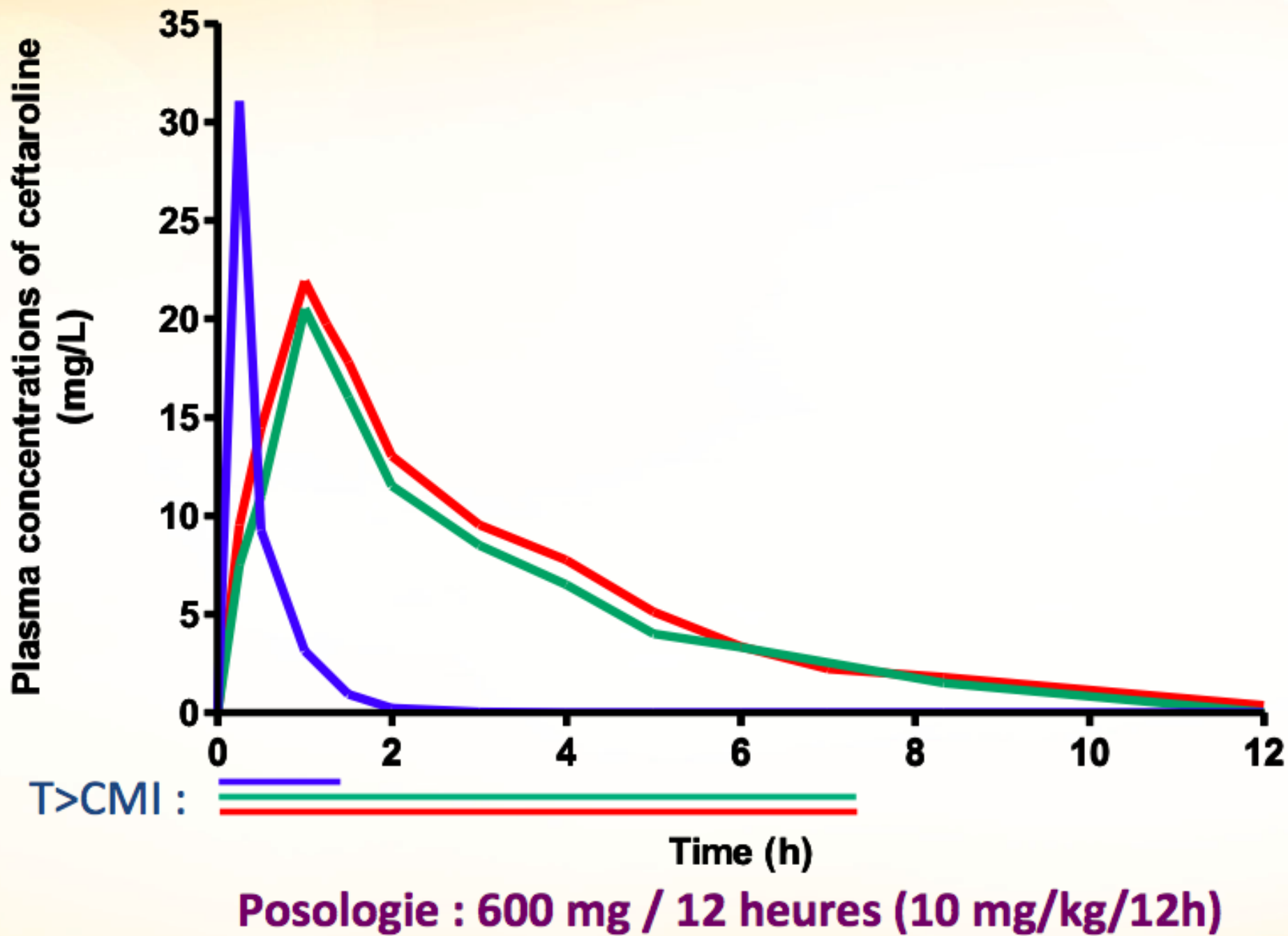
Comparaison des paramètres PK homme / animal



Perfusion assistée par ordinateur

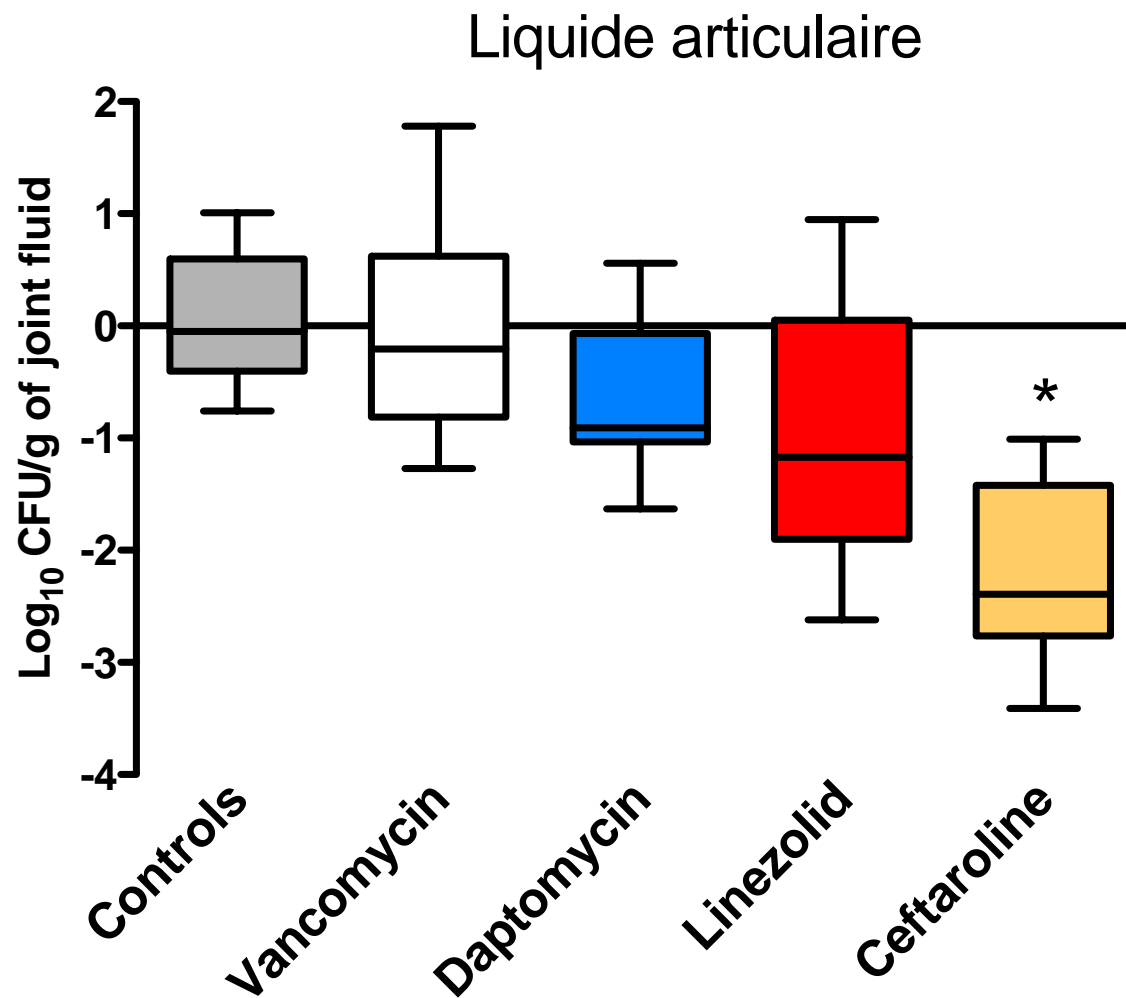
Simulation de la PK humaine chez l'animal

Modèle d'IOA: Evaluation thérapeutique



Modèle d'IOA: Evaluation thérapeutique

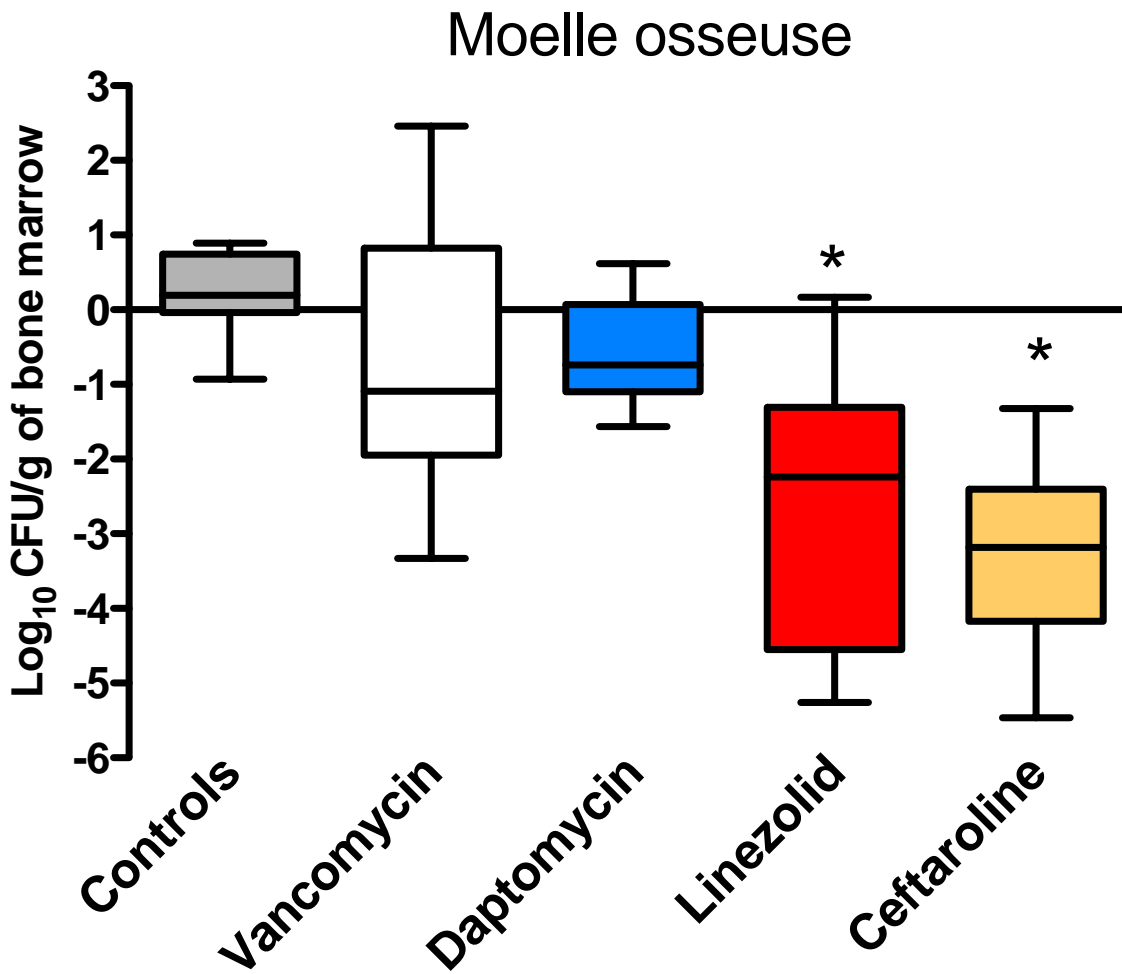
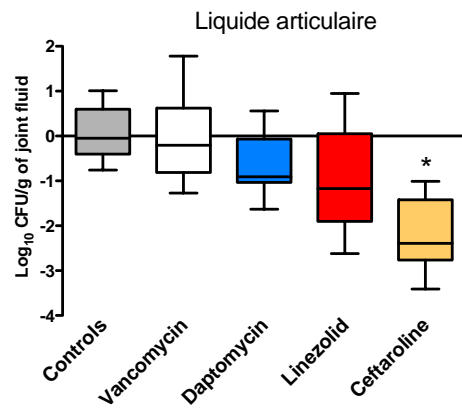
Evaluation de molécules antistaphylococciques



Jacqueline C et al. Efficacy of the new cephalosporin ceftaroline in the treatment of experimental methicillin-resistant *Staphylococcus aureus* acute osteomyelitis. J Antimicrob Chemother 2010; 65(8):1749-52.

Modèle d'IOA: Evaluation thérapeutique

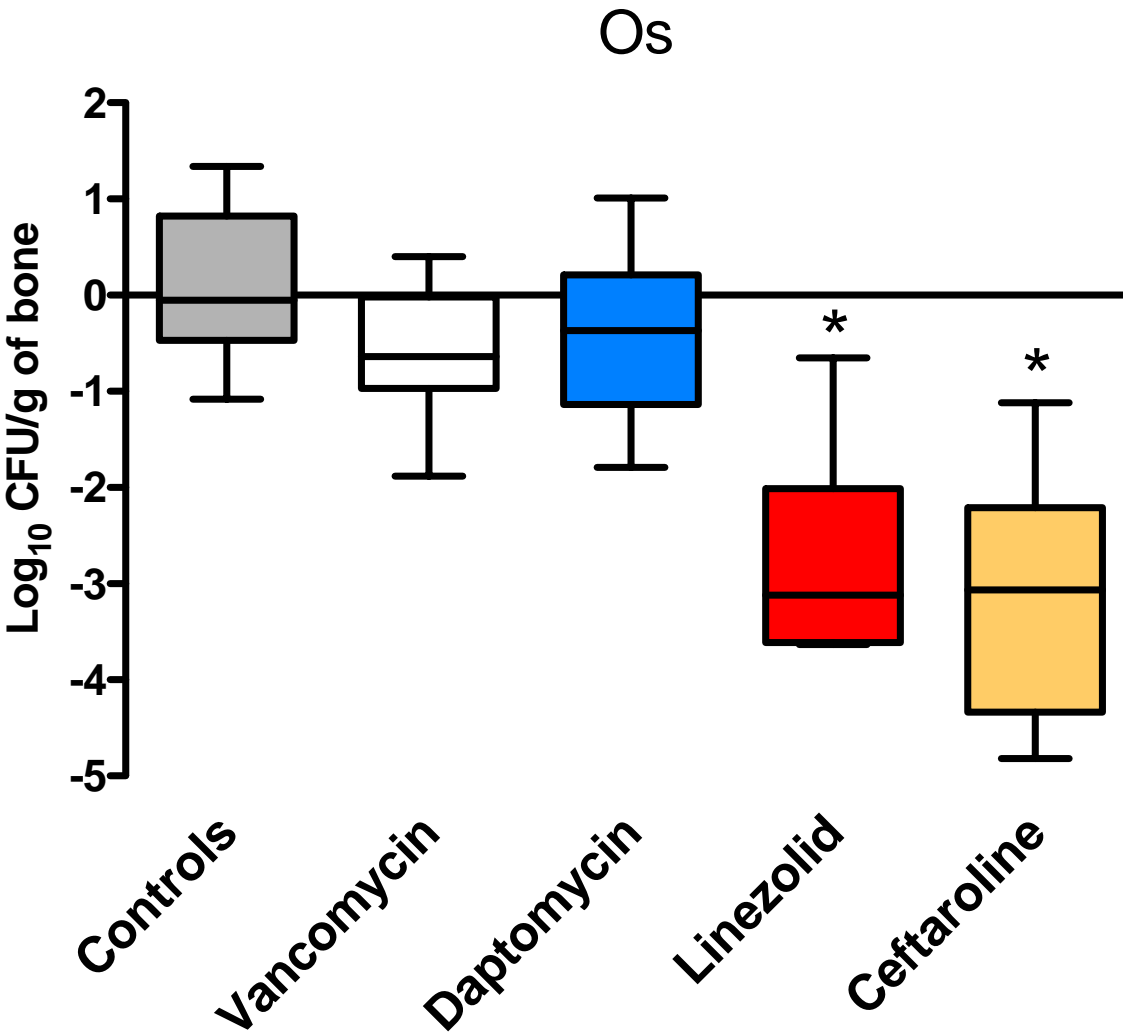
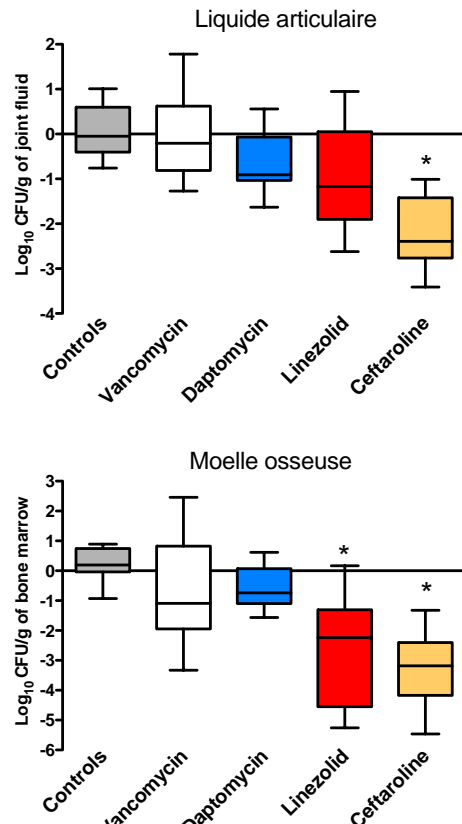
Evaluation de molécules antistaphylococciques



Jacqueline C et al. Efficacy of the new cephalosporin ceftaroline in the treatment of experimental methicillin-resistant *Staphylococcus aureus* acute osteomyelitis. J Antimicrob Chemother 2010; 65(8):1749-52.

Modèle d'IOA: Evaluation thérapeutique

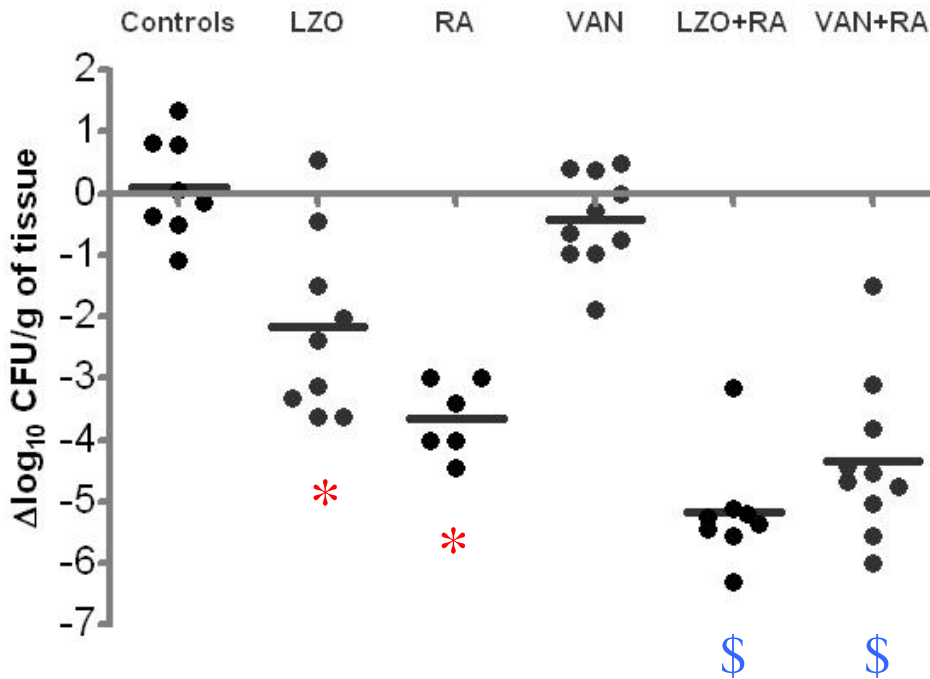
Evaluation de molécules antistaphylococciques



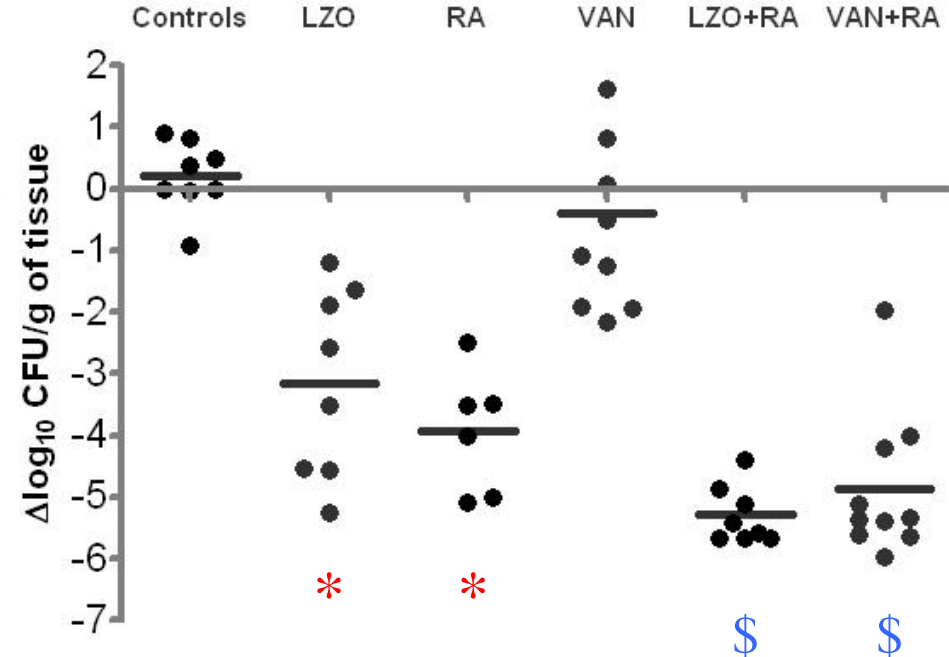
Jacqueline C et al. Efficacy of the new cephalosporin ceftaroline in the treatment of experimental methicillin-resistant *Staphylococcus aureus* acute osteomyelitis. J Antimicrob Chemother 2010; 65(8):1749-52.

Evaluation des associations : Linézolide + rifampicine vs. vancomycine + rifampicine

Moelle osseuse



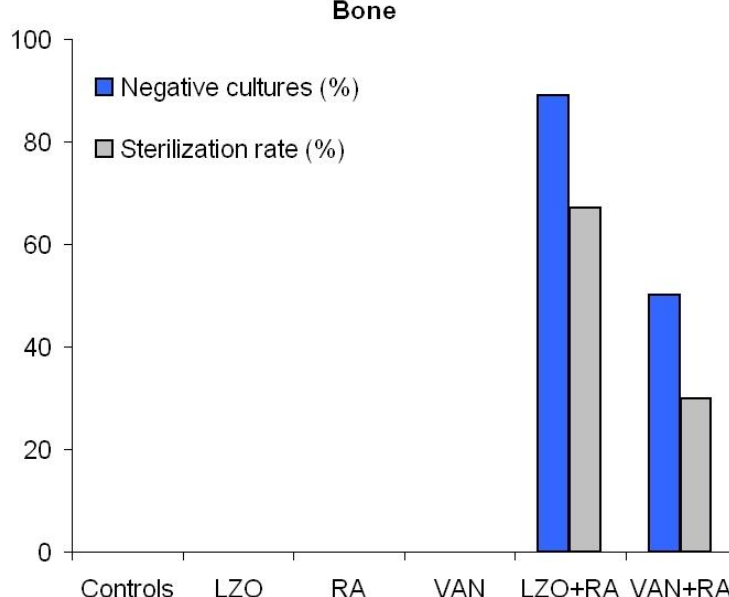
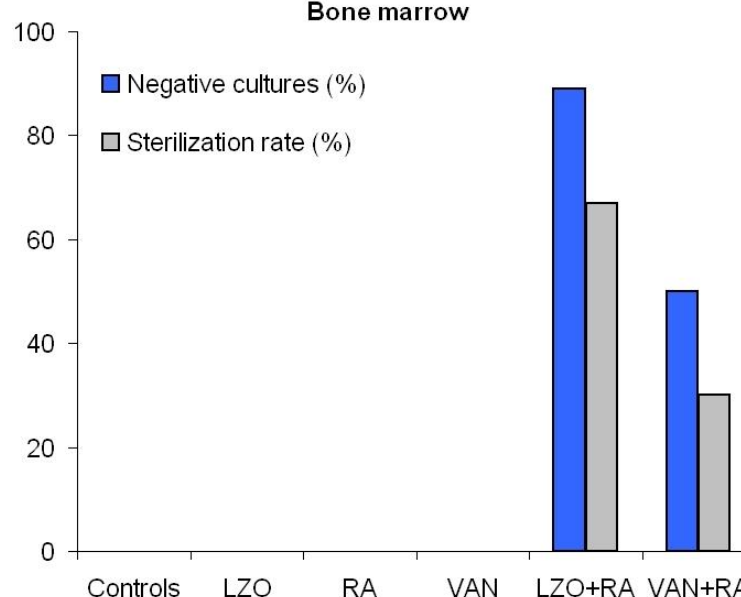
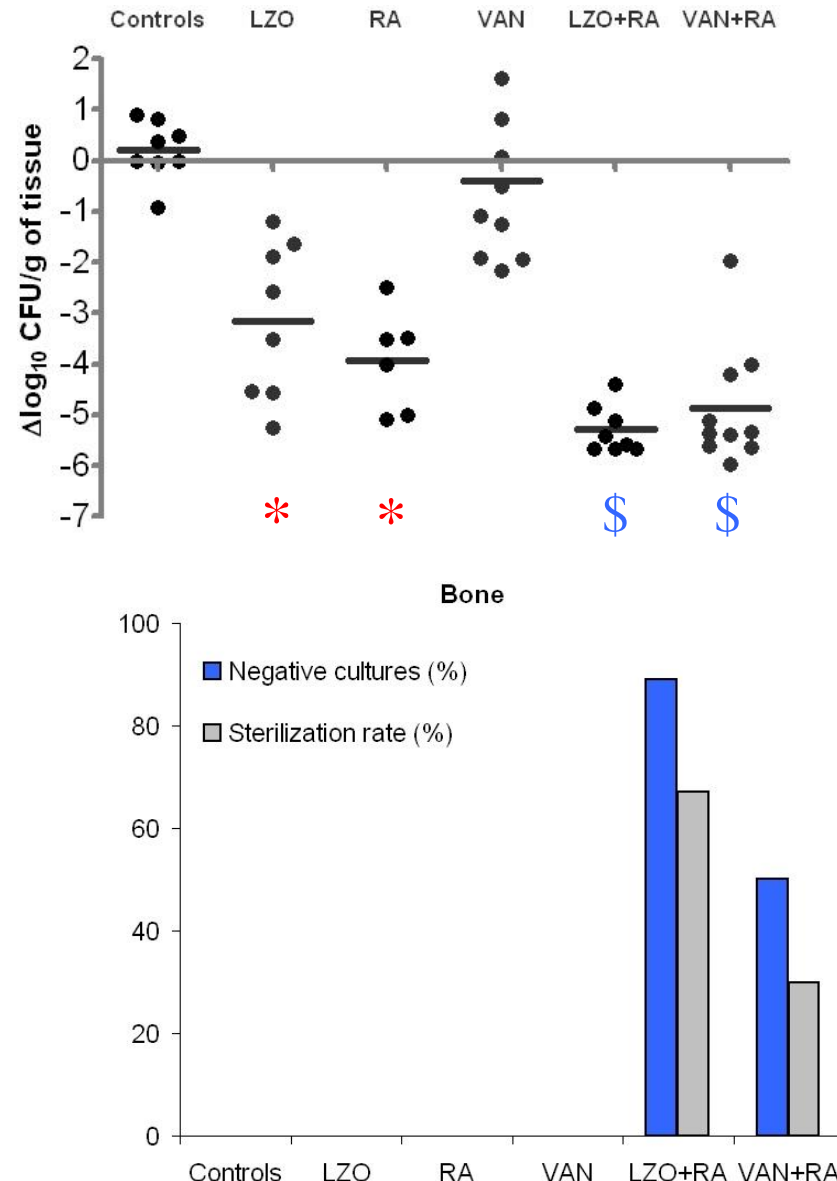
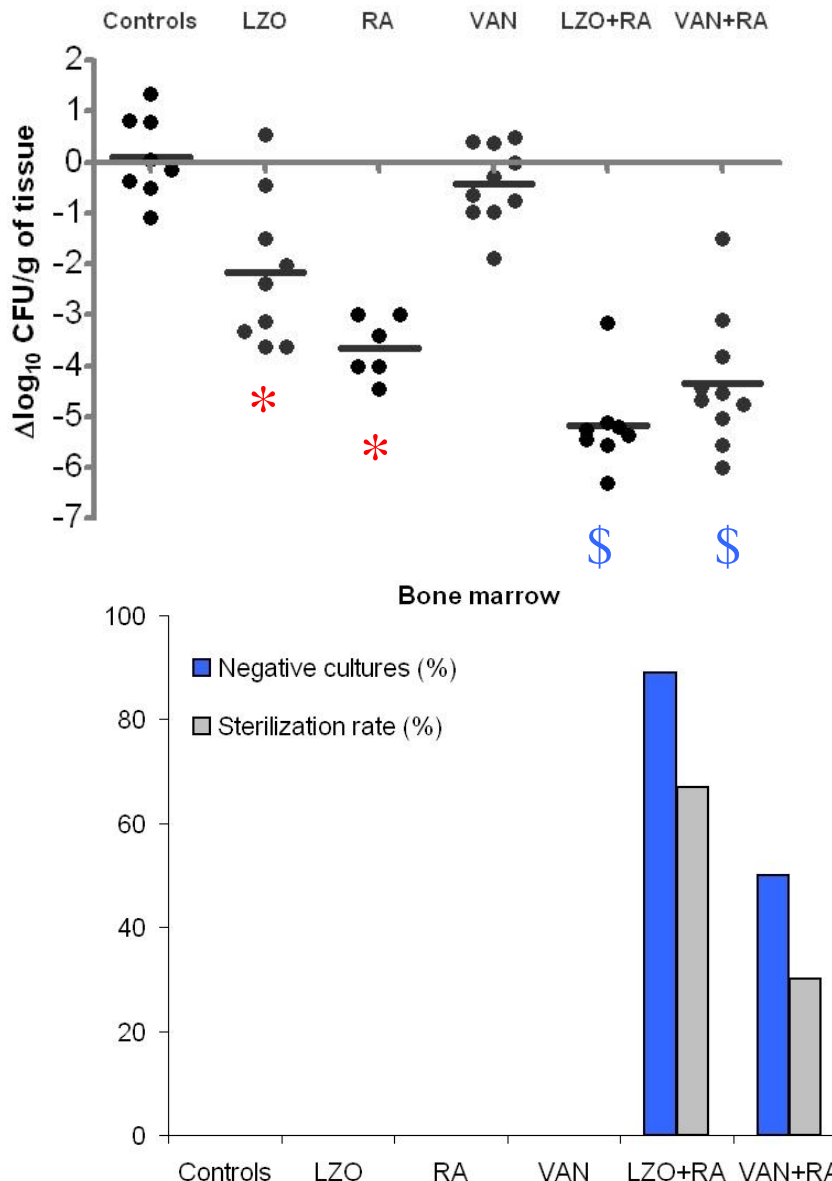
Os



Jacqueline et al. Assessment of Linezolid (LZO), Vancomycin (VAN), and Rifampicin (RA) as Monotherapy in Comparison with Combination of Linezolid/Rifampicin and Vancomycin/Rifampicin in the Treatment of Experimental Methicillin-Resistant *Staphylococcus aureus* (MRSA) Acute Osteomyelitis. 2011. ECCMID, Milan.

Modèle d'IOA: Evaluation thérapeutique

Evaluation des associations : Linézolide + rifampicine vs. vancomycine + rifampicine



Evaluation des associations : Daptomycine + Rifampicine ?

Table 1

Bacterial counts in bone, bone marrow and joint fluid (difference between Day 7 and Day 3).

Treatment	Mean \pm S.D. $\Delta \log_{10}$ CFU/g of tissue (no. of sterile samples/total no.)		
	Bone	Bone marrow	Joint fluid
Control (<i>n</i> = 8)	0.11 \pm 0.80 (0/8)	0.20 \pm 0.59 (0/8)	0.10 \pm 0.60 (0/8)
Daptomycin (<i>n</i> = 8)	-0.85 \pm 1.08 (0/8)	-0.69 \pm 0.67 (0/8)	-1.06 \pm 0.99 (0/8)
Vancomycin (<i>n</i> = 14)	-0.75 \pm 0.81 (0/14)	-0.61 \pm 1.50 (0/14)	-0.72 \pm 1.39 (0/14)
Daptomycin + rifampicin (<i>n</i> = 9)	-4.51 \pm 0.81 ^{*,**} (9/9)	-5.00 \pm 1.16 ^{*,**} (8/9)	-4.568 \pm 1.32 ^{*,**} (4/9)
Vancomycin + rifampicin (<i>n</i> = 8)	-3.85 \pm 1.83 ^{*,**} (1/8)	-4.24 \pm 1.98 ^{*,**} (1/8)	-2.46 \pm 1.34 ^{*,†} (1/8)

S.D., standard deviation; CFU, colony-forming units.

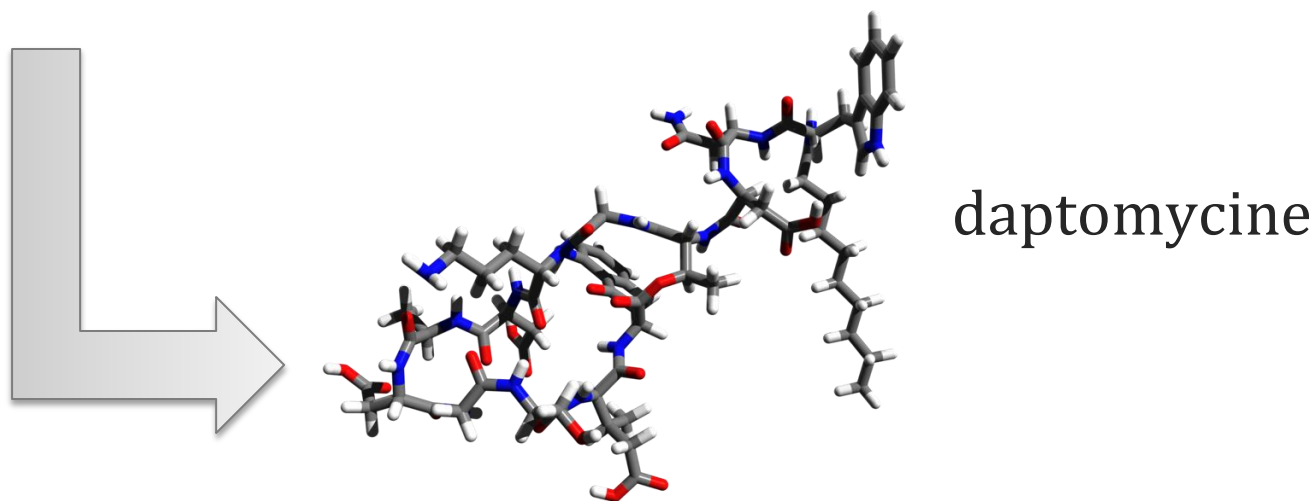
^{*} *P* < 0.01 versus untreated controls.^{**} *P* < 0.001 versus corresponding monotherapy.[†] *P* < 0.05 versus corresponding monotherapy.[‡] *P* < 0.01 versus vancomycin + rifampicin.

Améliorer le traitement des IOA par l'administration locale d'un antibiotique ?

Exemple de la daptomycine

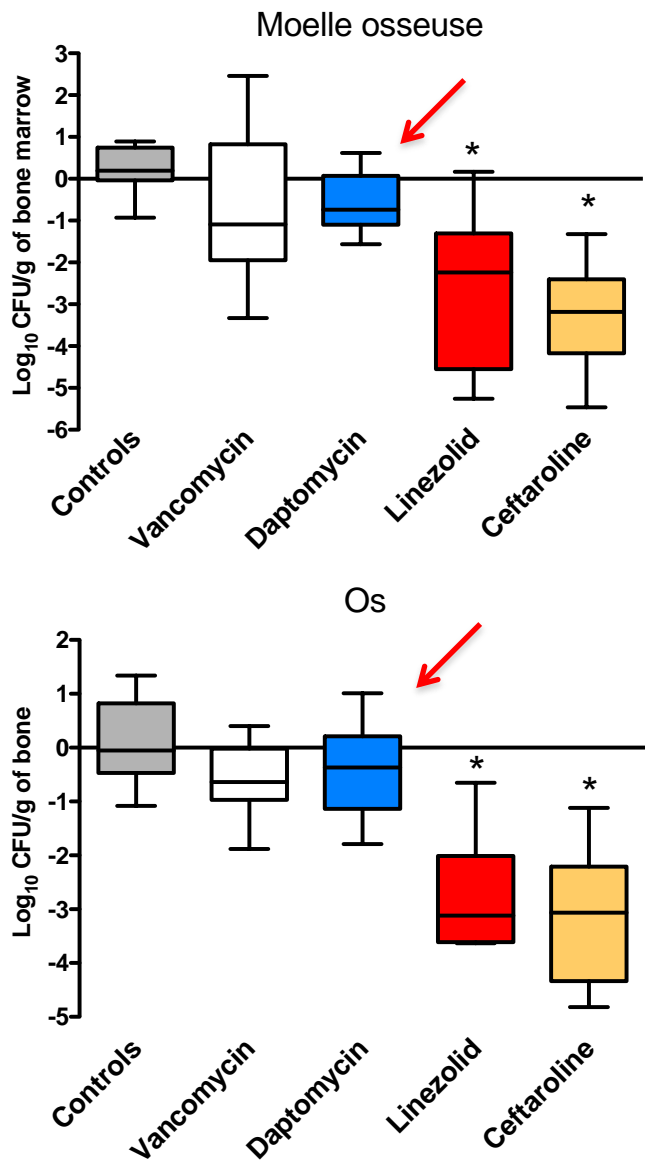
Objectif : Evaluer l'apport d'un biomatériau en tant que matrice à libération prolongée d'un antibiotique dans le traitement de l'ostéomyélite aiguë.

Biomatériau : Apatite déficiente en calcium (CDA)

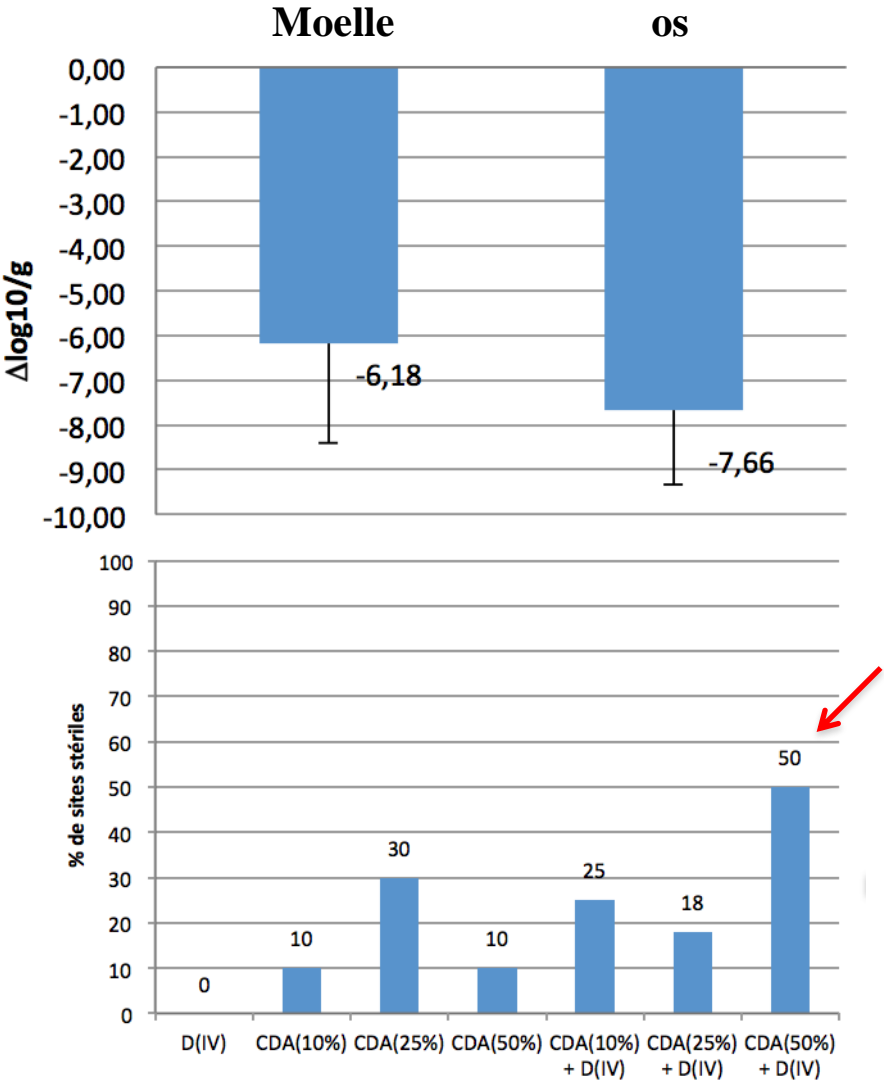


Modèle d'IOA: Evaluation thérapeutique

Améliorer le traitement des IOA par l'administration locale d'un antibiotique ?



$\text{CDA}_{50\%} + \text{perfusion IV dapto}$



Conclusions

- Modèle aigüe d'IOA adapté à l'étude de l'activité précoce d'un antibiotique.
- Pas d'activité in vivo de la vancomycine et de la daptomycine après 4 jours de traitement dans un modèle aigüe d'IOA.
- Activité +++ du linézolide et de la ceftaroline en administration IV (« humanisation » des PK).
- Excellente activité des associations avec la rifampicine (linézolide, vancomycine, daptomycine).
- L'approche locale via une matrice à libération prolongée semble être une approche prometteuse (validée avec la vancomycine et la daptomycine).

4ème Journée Scientifique du CRIOGO

Modélisation animale des infections ostéo-articulaires



Cédric Jacqueline

UPRES EA 3826

Thérapeutiques Cliniques et Expérimentales des Infections

Université de Nantes

